

НАЦІОНАЛЬНИЙ ТЕХНІЧНИЙ УНІВЕРСИТЕТ УКРАЇНИ  
“КИЇВСЬКИЙ ПОЛІТЕХНІЧНИЙ ІНСТИТУТ”  
ФІЗИКО-ТЕХНІЧНИЙ ІНСТИТУТ  
КАФЕДРА ІНФОРМАЦІЙНОЇ БЕЗПЕКИ

«До захисту допущено»

Завідувач кафедри

\_\_\_\_\_  
(підпис)  
М. В. Грайворонський

“ ”  
(ініціали, прізвище)  
\_\_\_\_\_

2017 р.

## Дипломна робота

освітньо-кваліфікаційного рівня “магістр”

за спеціальністю 8.04030101 «Прикладна математика»

на тему «Тема»

Виконав студент 6 курсу групи group

Name

Керівник Rank, Name

Рецензент Rank, Name

\_\_\_\_\_  
(підпис)

\_\_\_\_\_  
(підпис)

\_\_\_\_\_  
(підпис)

Засвідчую, що у цій дипломній роботі  
немає запозичень з праць інших авто-  
рів без відповідних посилань.

Студент \_\_\_\_\_

## ЗМІСТ

Вступ . . . . .	6
1 Теоретичні відомості . . . . .	8
1.1 Знаходження глибини методом бінокулярного паралаксу. . . . .	8
1.2 Оффлайн алгоритм пошуку скалярного поля зсувів . . . . .	10
1.3 Онлайн алгоритм пошуку скалярного поля зсувів . . . . .	14
1.4 Стереозрение при медленно поступающих данных. . . . .	22
2 Практичні результати . . . . .	29
3 final remarks. . . . .	30
Висновки . . . . .	31
Перелік посилань . . . . .	33

## ВСТУП

Задача бінокулярного стереозору — одна з актуальних проблем у сфері комп'ютерного зору. Це метод оцінки відстані від камери до об'єктів шляхом порівняння пари їх знімків, зроблених під різними кутами.

Від доповненої реальності до автономної навігації — задачі стереозору мають багато застосувань в сучасному світі. Будучи менш точними, ніж лазерне сканування, методи стерео зору часто використовуються для отримання топографічних мап через те, що дозволяють охопити одним знімком великий регіон земної поверхні.

В цій роботі розглядаються алгоритми пошуку одновимірної карти зсувів, що на вхід приймають одновимірне ректифіковане зображення. Такі алгоритми дають непогане уявлення про глибину сцени (рис. 11) *?(while not being computationally complex)?*.

**Актуальність роботи.** Offline алгоритми розв'язання задачі стереозору можуть почати свою роботу тільки після надходження всіх даних. Проте, з розвитком мережевих технологій все частіше трапляється, що необхідна інформація завантажується безпосередньо з інтернету по мірі необхідності, а не зберігається локально. Також можлива ситуація, коли дані для обрахунку відправляються до обчислювального центру. Сучасні дата-центри мають дуже швидкі та надійні канали доступу до мережі, цього не можна сказати про їх клієнтів. Тож до часу роботи самого алгоритму буде додаватися ще й час надходження всіх даних. Цю проблему можна вирішити, використовуючи алгоритми, які можуть починати обрахунки вже після надходження першої частини даних, зменшуючи тим самим сумарний час обробки даних.

*Об'єкт дослідження* — прихована модель Маркова.

*Предмет дослідження* — ефективна оцінка прихованих параметрів моделі Маркова.

**Мета дослідження.** Розробка онлайн алгоритму для задачі стереозору.

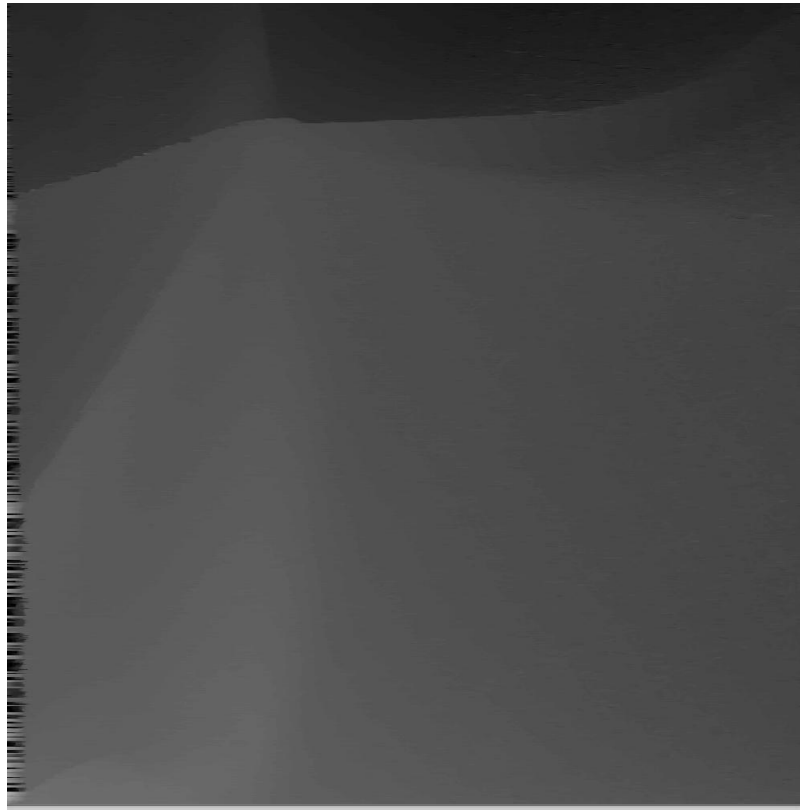


Рисунок 1 — Результат роботи одновимірного алгоритму

**Практичне значення результатів.** Розроблений алгоритм можна використовувати для ефективного вирішення задачі стереозору в умовах повільного надходження даних.

# 1 ТЕОРЕТИЧНІ ВІДОМОСТІ

## 1.1 Знаходження глибини методом бінокулярного паралаксу

### 1.1.1 Будова камери

Сучасні цифрові фото та відео камери мають куди більш складну будову, ніж їх попередники. Для подальших викладок нам буде достатньо розглянути роботу найпростішої можливої камери — камери-обскури (від лат. camera obscura — «темна кімната») (рис. 1.1). Це просто темне приміщення з одним малим отвором (його називають *точковою діафрагмою*), через який на протилежну стіну проектується перевернуте зображення предметів ззовні. Для нас протилежна стіна — матриця цифрової камери.

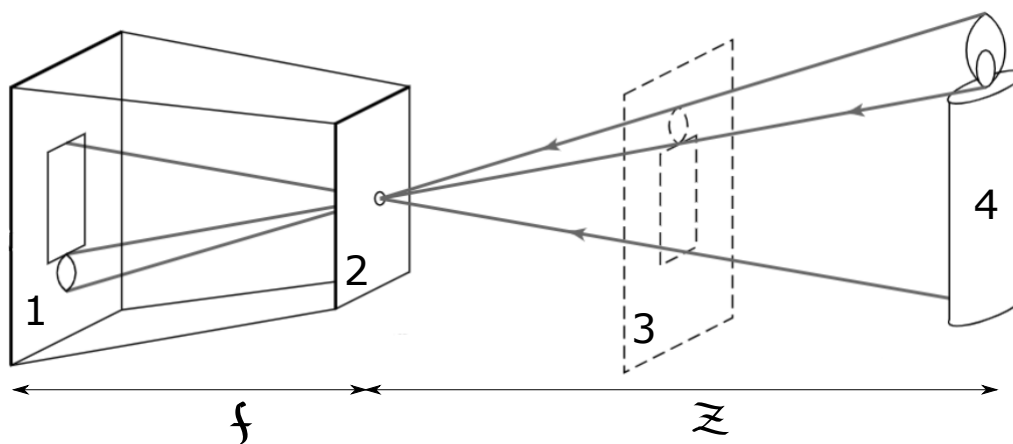


Рисунок 1.1 — Будова камери-обскури.

1 — результуюче зображення, 2 — отвір, 3 — віртуальне зображення, 4 — об'єкт

### 1.1.2 Пошук відстані методом бінокулярного паралаксу

В силу оптичних особливостей результуюче зображення в камері-обскури буде перевернутим. Тому замість нього будемо розглядати віртуальне зобра-

ження, що знаходиться на відстані  $f$  з права від діафрагми, але вже не перевернуте (рис. 1.1). Це ніяк не вплине на результат, але спростить подальші викладки. Покажемо тепер, як з допомогою двох таких камер можна знайти абсолютну відстань до об'єкта. Камери розташовані паралельно одна одній. Тоді маємо таку конфігурацію (рис. 1.2). Тут  $L$  та  $R$  — діафрагми лівої та правої камери,  $O_L, O_R$  — центри віртуальних зображень,  $f$  — фокусна відстань,

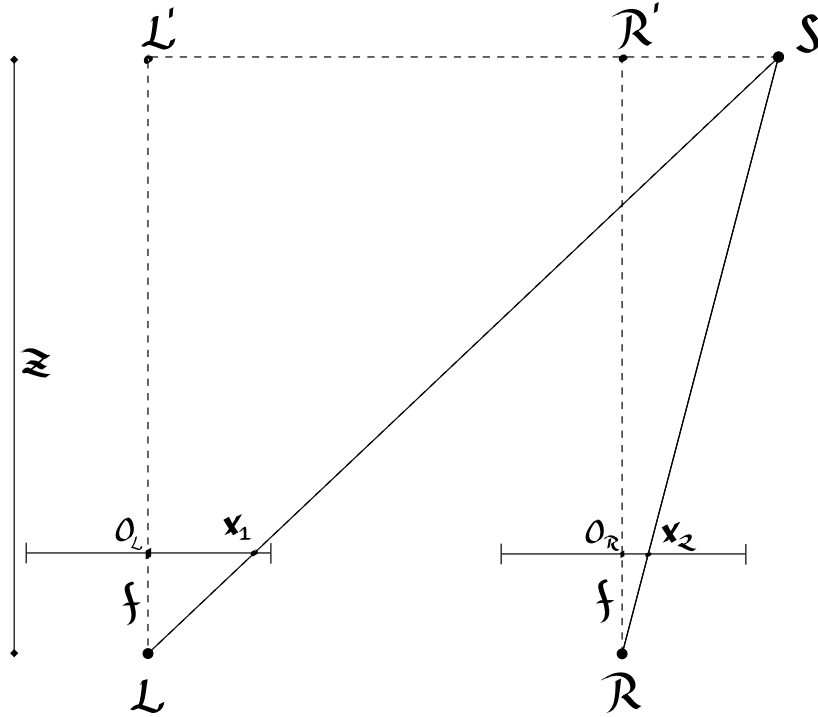


Рисунок 1.2 — Геометрія розташування камер.

$z$  — відстань до об'єкта,  $\Delta$  — відстань між камерами,  $x_1$  та  $x_2$  — координати проєкцій об'єкта на лівому та правому зображеннях,  $S$  — об'єкт.

Тоді з подібності трикутників  $LSL'$ ,  $Lx_1O_L$  та  $RSR'$ ,  $Rx_2O_R$  маємо

$$\begin{cases} \frac{f}{x_1} = \frac{z}{\Delta+x}, \\ \frac{f}{x_2} = \frac{z}{x}. \end{cases}$$

Виразивши  $\Delta$  з першого рівняння та  $x$  з другого, отримаємо

$$\begin{cases} \Delta = \frac{z \cdot x_1}{f} - x, \\ x = \frac{z \cdot x_2}{f}. \end{cases}$$

Підставимо  $x$  в перше рівняння і отримаємо вираз для  $z$

$$z = \frac{\Delta \cdot f}{(x_1 - x_2)}.$$

Оскільки  $\Delta$  и  $f$  не залежать від розташування об'єкта, то відстань до нього буде залежати тільки від різниці  $x_1 - x_2$ , тобто тільки від зсуву проєкцій об'єкту між двома знімками. Тож для знаходження глибини сцени нам необхідно знайти зсув для кожного пікселя між зображеннями.

## 1.2 Оффлайн алгоритм пошуку скалярного поля зсувів

### 1.2.1 Постановка задачі

Нехай  $n$  — довжина зображення,  $I = \{1, 2, \dots, n\}$  — множина координат пікселів,  $D = \{0, \dots, D_{max}\}$  — множина зсувів, де  $D_{max}$  — значення максимального зсуву, що обирається емпіричним шляхом. Ліве і праве зображення задамо як функції

$$\mathcal{L} : I \rightarrow \mathcal{C},$$

$$\mathcal{R} : I \rightarrow \mathcal{C}.$$

Тобто,  $\mathcal{L}(i)$  — інтенсивність  $i$ -го пікселя на лівому зображенні, а  $\mathcal{R}(i)$  — інтенсивність  $i$ -го пікселя на правому зображенні, а  $\mathcal{C}$  — множина кольорів зображення.

Для вирішення задачі кожному пікселю лівого зображення потрібно знайти відповідний йому піксель на правому зображенні (1.3). Введемо сюр'єктивне відображення  $d : I \rightarrow D$ , де  $d(i)$  — такий зсув  $d_i \in D$  для пікселя з номером  $i$  лівого зображення, що піксель правого зображення з номером  $i - d_i$  відповідає йому. Проте, не будь-яка пара пікселів може знаходитися у

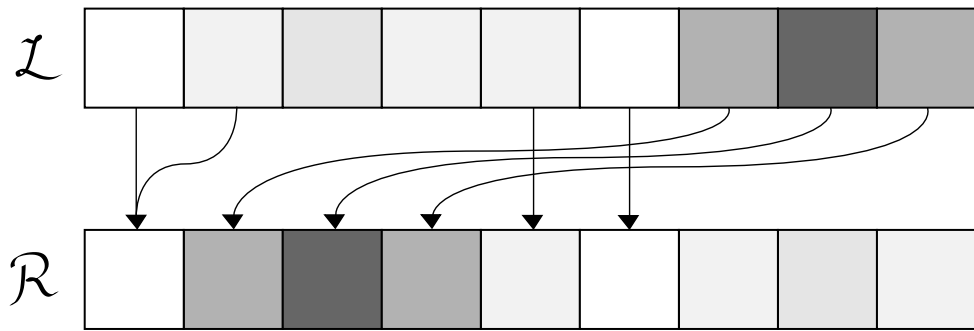


Рисунок 1.3 — Пошук відповідних пікселів

відповідності — пікселю з номером  $i$  на лівому зображенні можуть відповідати пікселі правого зображення з номером  $j$ , для яких  $i \geq j$ . Переконатися в цьому можна, тримаючи перед собою олівець, та по черзі закриваючи то праве, то ліве око. Для правого ока олівець буде знаходитися лівіше ніж для лівого

Треба знайти таку послідовність  $\bar{d} \in D^n$ , яка мінімізує штрафну функцію

$$\mathcal{W}(\bar{d}) = \sum_{i=1}^n h(i, d_i) + \sum_{i=1}^{n-1} g(d_i, d_{i+1}), \quad (1.1)$$

де  $h(i, d_i)$  відповідає за схожість кольору пікселів, а  $g(d_i, d_{i+1})$  за гладкість поля зсувів.



### 1.2.2 Представлення задачі як пошук найкоротшого шляху у графі

Зведемо задачу пошуку послідовності  $\bar{d}$ , що мінімізує штрафну функцію (1.1), як пошук найкоротшого шляху через орієнтований зважений граф  $G = \langle \mathcal{V}, \mathcal{E} \rangle$  (рис. 1.4). Його множина вершин

$$\mathcal{V} = \{\sigma(i, d) \mid i \in I, d \in D\} \cup \{S, E\}.$$

Введемо функцію ваг вершин

$$\begin{aligned} v : \mathcal{V} \setminus \{S, E\} &\rightarrow \mathbb{R}, \\ v(\sigma(i, d)) &= h(i, d), \quad \forall i \in I, d \in D. \end{aligned}$$

Множина його ребер

$$\mathcal{E} = \bigcup_{d \in D} \{\langle S, \sigma(1, d) \rangle\} \cup \bigcup_{d \in D} \{\langle \sigma(n, d), E \rangle\} \cup \bigcup_{\substack{i=1..n-1 \\ d \in D \\ d' \in D}} \{\langle \sigma(i, d), \sigma(i+1, d') \rangle\}.$$

Введемо функцію ваг ребер

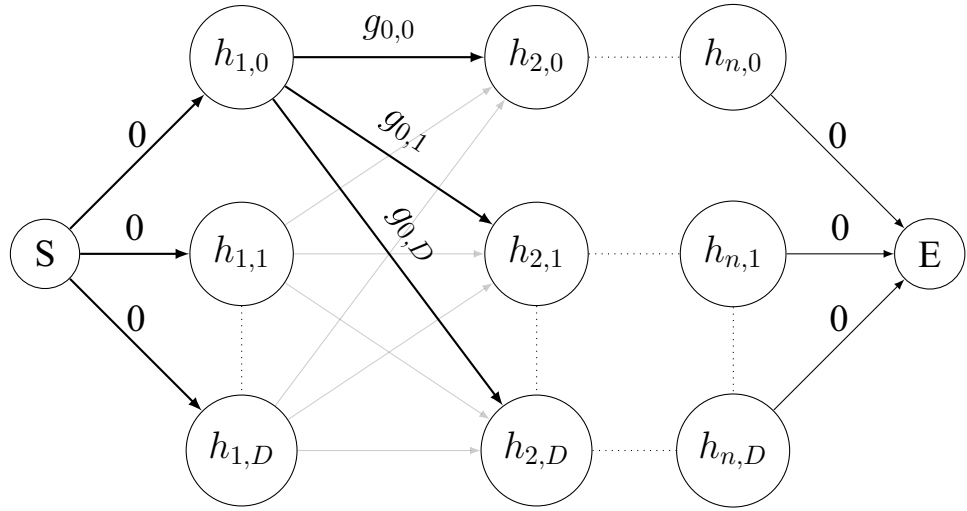
$$w : \mathcal{E} \rightarrow \mathbb{R},$$

де  $w(v_1, v_2)$  — вага ребра  $\langle v_1, v_2 \rangle$ ,  $\langle v_1, v_2 \rangle \in \mathcal{E}$ ,

$$w(\sigma(i, d), \sigma(i+1, d')) = g(d, d'), \quad \forall d, d' \in D, i \in I,$$

$$w(S, \sigma(1, d)) = 0, \quad \forall d \in D,$$

$$w(\sigma(n, d), E) = 0, \quad \forall d \in D.$$

Рисунок 1.4 — Граф  $G$ 

Послідовність  $\bar{d}$  — послідовність вершин, через які проходить найкоротший шлях з  $S$  в  $E$ , мінімізує штрафну функцію  $\mathcal{W}(\bar{d})$  (1.1).

### 1.2.3 Пошук найкоротшого шляху у графі

Позначимо довжину найкоротшого шляху з вершини  $S$  в вершину  $\sigma(i, d)$  як  $f_i(d)$ . Тоді

$$f_1(d) = h(1, d), \forall d \in D$$

$$f_2(d) = \min_{d' \in D} (f_1(d') + g(d', d)) + h(2, d), \forall d \in D$$

$$\vdots$$

$$f_i(d) = \min_{d' \in D} (f_{i-1}(d') + g(d', d)) + h(i, d), \forall d \in D.$$

Тоді елементи послідовності  $\bar{d}$  знаходимо за формулами

$$d_n = \arg \min_{d' \in D} (f_n(d')),$$

$$d_i = \arg \min_{d' \in D} (f_i(d') + g(d', d_{i+1})), \quad i = \overline{n-1, 1}.$$

### 1.3 Онлайн алгоритм пошуку скалярного поля зсувів

Метод, описаний в підрозділі 1.2, потребує наявності всіх даних до початку обчислень. В ситуації, коли дані надходять повільно, цей метод не є ефективним, адже доводиться чекати надходження всіх даних і тільки потім починати обчислення, бо ми не можемо розрахувати ваги деяких вершин. Замість цього можна проводити деякі розрахунки з частиною даних, що вже надійшла, цим самим зменшивши час роботи алгоритму після отримання всіх даних.

#### 1.3.1 Постановка задачі

Як і в частині 1.2,  $n$  — довжина зображення,  $I = \{1, 2, \dots, n\}$  — множина координат пікселів,  $D = \{0, \dots, D_{max}\}$  — множина зсувів,  $D_{max}$  — значення максимального зсуву. Проте ліве і праве зображення вже задаємо як функції

$$\mathcal{L} : I \rightarrow \mathcal{C} \cup \{\varepsilon\},$$

$$\mathcal{R} : I \rightarrow \mathcal{C} \cup \{\varepsilon\}.$$

Якщо  $i$ -й піксель лівого зображення вже надійшов, то  $\mathcal{L}(i)$  — інтенсивність  $i$ -го пікселя на лівому зображенні. Якщо ще не надійшов, то  $\mathcal{L}(i) = \varepsilon$ . Так само, як і у 1.2, нам потрібно знайти таку послідовність  $\bar{d} \in D^n$ , яка мінімізує штрафну функцію (1.1).

Цю задачу ми теж представимо як пошук найкоротшого шляху на графі  $G = \langle \mathcal{V}, \mathcal{E} \rangle$ . Його множина вершин, множина ребер та ваги ребер такі ж, як

і в підрозділі 1.2.2. Але ваги вершин

$$v(\sigma(i, d)) = \begin{cases} h(i, d), & \text{якщо } \mathcal{L}(i) \neq \varepsilon, \\ \infty, & \text{якщо } \mathcal{L}(i) = \varepsilon. \end{cases}$$

Будемо називати вершину  $\sigma(i, d)$  **відкритою**, якщо  $\mathcal{L}(i) \neq \varepsilon$ , інакше назовемо її **закритою**.

Отже, поки нам не надійшли всі дані, ми не можемо знайти таку послідовність  $\bar{d} \in D^n$ , що мінімізує штрафну функцію

$$\omega(\bar{d}) = \sum_{i=1}^n h(i, d_i) + \sum_{i=1}^{n-1} g(d_i, d_{i+1}).$$

Але, щоб зменшити загальний час роботи алгоритму, ми можемо проводити деякі розрахунки з тими даними, що вже надійшли.

### 1.3.2 Поступове упорядковане надходження даних

Нехай на початку нам не відомі жодні пікселі обох зображень (рис. 1.5), та існує деякий стохастичний автомат, що на кожному кроці  $t \in I$  генерує

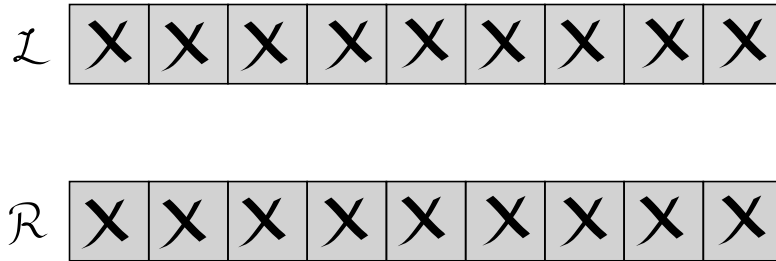
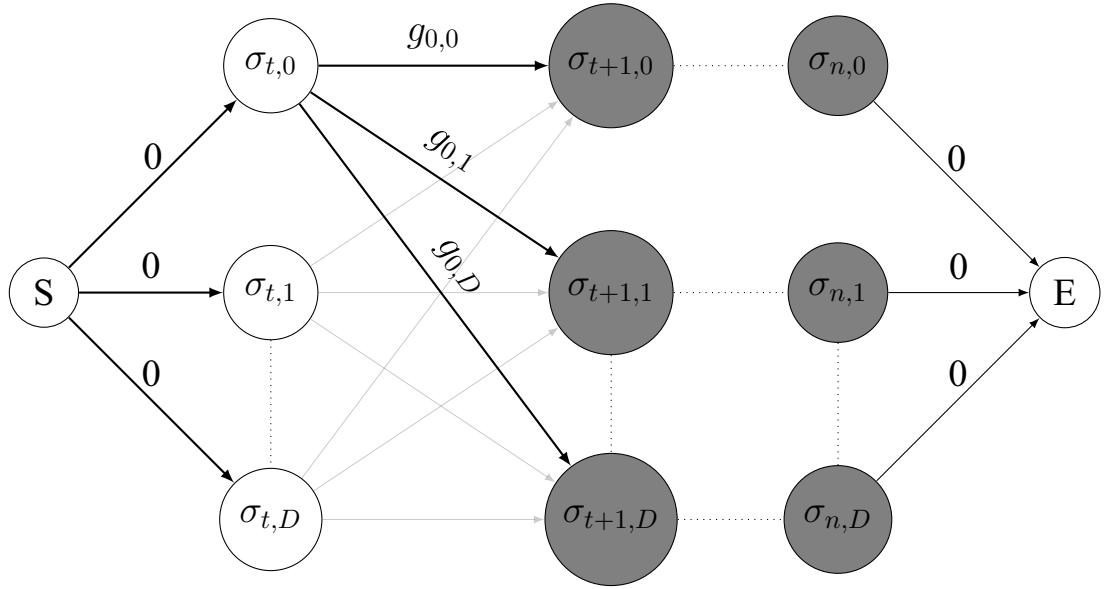


Рисунок 1.5 — Немає даних

пари  $\langle c_L, c_R \rangle$  — кольори наступних пікселів лівого та правого зображень ( $c_L, c_R \in \mathcal{C}$ ). Тоді на кожному кроці  $t$  нам буде відкриватися стовпчик вершин  $h(t, d), \forall d \in D, t \in I$  (рис. 1.8).

Рисунок 1.6 — Граф  $G$ 

Перед тим, як навести сам алгоритм, неформально опишемо ідею його роботи. Припустимо, нам відомо, що найкоротший шлях з  $S$  в  $E$  проходить через вершину  $\sigma(t+1, d), d \in D$ . Тоді, якщо всі вершини  $\sigma(t, d), \forall d \in D$  відкриті, ми можемо точно сказати, через яку з них буде проходити найкоротший шлях. Таку вершину назвемо *оптимальною попередньою* для вершини  $\sigma(t+1, d)$ . На жаль, ми не знаємо, через яку вершину  $\sigma(t+1, d), d \in D$  проходить найкоротший шлях, тож нам необхідно для кожної такої вершини знайти її оптимальну попередню вершину. Зате після цього нам вже не потрібні вершини  $\sigma(t, d), \forall d \in D$ , і ми можемо їх відкинути разом з їх ребрами, замінивши на  $D_{max}$  нових ребер. Цим самим ми зменшимо загальну кількість ребер на  $D_{max}^2$ .

Нехай  $G^0 = \langle \mathcal{V}^0, \mathcal{E}^0 \rangle = \langle \mathcal{V}, \mathcal{E} \rangle$ . Нехай також  $T = \{1, \dots, n-1\}$  — множина ітерацій,  $s : T \times D \rightarrow R, s^0(d) = 0, \forall d \in D$ . Для відновлення послідовності  $\bar{d}$  введемо матрицю *попередніх оптимальних вершин*  $\hat{P}$ , розмірності  $n \times (D_{max} + 1)$ .

$$p_{1,d} = 0, \forall d \in D.$$

Тільки-но автомат на кроці  $t \in T$  генерує нову пару  $\langle cL, cR \rangle$ , шукаємо новий граф  $G^t$ :

1)  $\forall d \in D :$

$$s^t(d) = \min_{d' \in D} (s^{(t-1)}(d') + h(t, d') + g(d', d)).$$

$$p_{t+1,d} \in \arg \min_{d' \in D} (s^{(t-1)}(d') + h(t, d') + g(d', d)),$$

(якщо мінімізуючих елементів декілька, оберемо будь-який з них).

2)  $\mathcal{V}^t = \mathcal{V}^{t-1} \setminus \{\sigma(t, d) \mid d \in D\}.$

3) Позначимо множину  $\bigcup_{d \in D} \langle S, \sigma(t, d) \rangle$  як  $\mathcal{A}$ ,

множину  $\bigcup_{\substack{d \in D \\ d' \in D}} \langle \sigma(t, d), \sigma(t+1, d') \rangle$  як  $\mathcal{B}$ ,

а множину  $\bigcup_{d \in D} \langle S, \sigma(t+1, d) \rangle$  як  $\mathcal{C}$ . Тоді

$$\mathcal{E}^t = (\mathcal{E}^{t-1} \setminus (\mathcal{A} \cup \mathcal{B})) \cup \mathcal{C}.$$

Вага ребра  $\langle S, \sigma(t+1, d) \rangle = s^t(d)$

4)  $G^t = \langle \mathcal{V}^t, \mathcal{E}^t \rangle$

Коли ж на кроці  $n$  автомат згенерує останні пікселі зображень, нам залишиться тільки знайти

$$d_n = \arg \min_{d' \in D} \{s^{(n-D_{max}-1)}(d') + h(n, d')\},$$

та відновити послідовність  $\bar{d}$  через матрицю  $\hat{\mathcal{P}}$

$$d_i = p_{i+1, d_{i+1}}, i = \overline{n-1, 1}.$$

Кожен новий граф  $G^t$  матиме на  $(D_{max})^2$  менше ребер, ніж граф  $G^{t-1}$ . Таким чином, на момент приходу останніх пікселів, нам треба буде опрацювати лише  $D_{max}$  ребер. Використання ж offline алгоритму потребує опрацювання  $(n-1) \cdot D_{max}^2$  ребер після надходження всіх даних. А якщо б ми спочатку

чекали приходу всіх даних, а тільки потім починали обчислення, нам треба було опрацювати  $(n - 1)(D_{max})^2$  ребер.

### 1.3.3 Неупорядковане надходження даних при одному відомому зображенні

Нехай на початку нам відомі всі пікселі лише одного з зображень. Без втрати загальності припустимо, що нам відомо ліве зображення (рис. 1.7). Введемо деякий стохастичний автомат, що на кожному кроці  $t \in I$  генерує

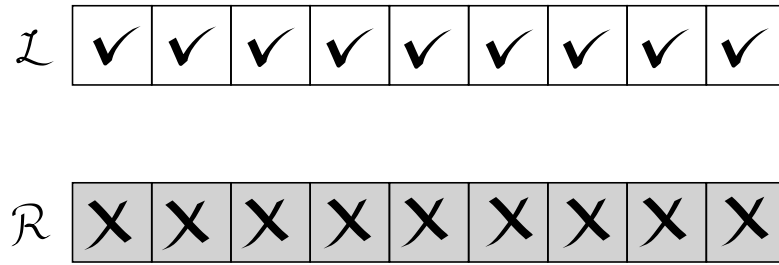


Рисунок 1.7 — Немає даних

пари  $\langle i, c \rangle$ , де  $c$  — інтенсивність пікселя з координатою  $i$  для невідомого зображення ( $i \in I, c \in \mathbb{R}$ ). Тоді на кожному кроці  $t$  нам буде відкриватися стовпчик вершин  $h(i, d), \forall d \in D$  (рис. 1.8).

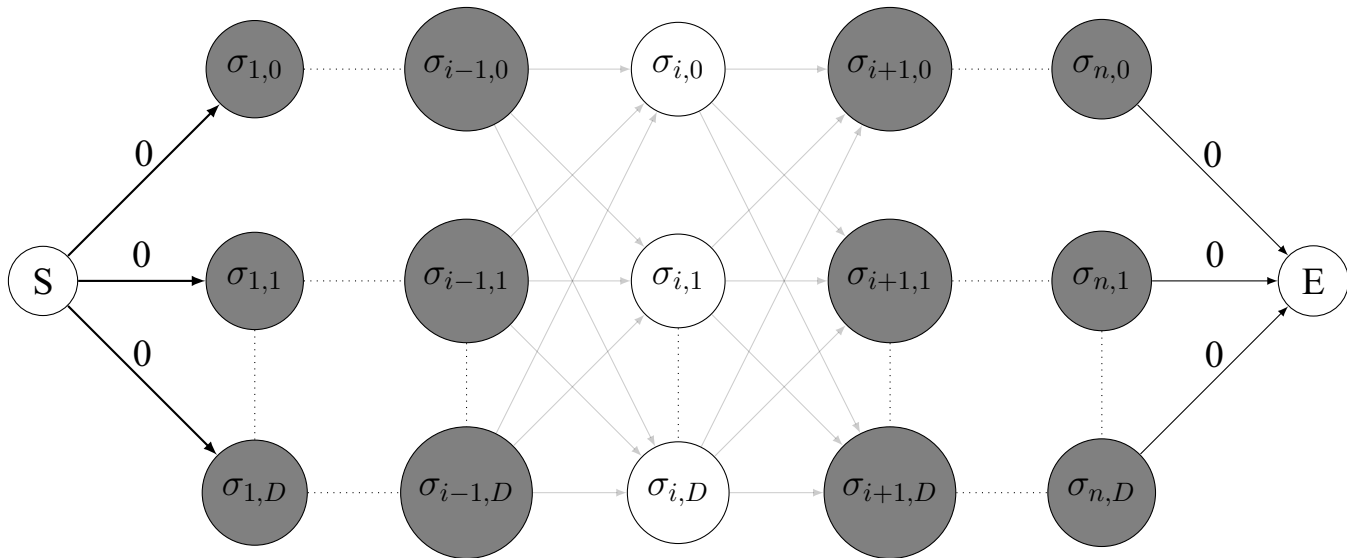


Рисунок 1.8 — Граф  $G$  (відкриті вершини зафарбовані білим).

Перед тим, як навести сам алгоритм, неформально опишемо ідею його роботи. Припустимо, нам відомо, що найкоротший шлях з  $S$  в  $E$  проходить через вершини  $\sigma(i+1, d')$  та  $\sigma(i-1, d'')$ ,  $d', d'' \in D, i \in I$ . Коли вершини  $\sigma(i, d)$ ,  $\forall d \in D$  стають відкритими, ми можемо точно сказати, через яку з них буде він буде проходити. Проте,  $d'$  та  $d''$  нам не відомі, тому нам необхідно для кожної пари вершини  $\sigma(i-1, d')$  та  $\sigma(i+1, d'')$  знайти їх оптимальну середню вершину. Після цього вершини  $\sigma(i, d)$ ,  $\forall d \in D$  нам вже не потрібні, і ми можемо їх відкинути разом з їх ребрами, замінивши на  $D_{max}^2$  нових ребер, зменшивши загальну кількість ребер теж на  $D_{max}^2$ .

Введемо  $G^0 = \langle \mathcal{V}^0, \mathcal{E}^0 \rangle = \langle \mathcal{V}, \mathcal{E} \rangle = G$ ,  $T = \{1, \dots, n-1\}$  — множина ітерацій. На кожній ітерації  $t$  будемо замінювати граф  $G^{t-1}$  на новий граф  $G^t$ , що матиме менше ребер та вершин. Введемо функцію

$$w : T \times E \rightarrow \mathbb{R},$$

де  $w^t(v_1, v_2)$  — вага ребра  $\langle v_1, v_2 \rangle$  у графі  $G^t$  ( $\langle v_1, v_2 \rangle \in E^t$ ). Для знаходження сусідніх стовпчиків закритих вершин у графі  $G^t$  вводимо

$$j = i - \sum_{k=1}^i \mathbb{1}(\mathcal{L}(k) \neq \varepsilon)$$

Для відновлення послідовності  $\bar{d}$  введемо матрицю *оптимальних вершин*  $\hat{\mathcal{P}}$ , розмірності  $I \times (D_{max} + 1) \times (D_{max} + 1)$ ,

$$p_{d', d''}^i = 0, \quad \forall d', d'' \in D, \forall i \in I.$$



Як тільки автомат на кроці  $t \in T$  генерує нову пару  $\langle i, c \rangle$ , шукаємо новий граф  $G^t$

$$1) \quad j = i - \sum_{k=1}^i \mathbb{1}(\mathcal{L}(k) \neq \varepsilon),$$

$$\hat{n} = n - \sum_{k=1}^n \mathbb{1}(\mathcal{L}(k) \neq \varepsilon).$$

2) Якщо  $j = 0$ ,

$$w^t(s, \sigma(j+1, d)) = \min_{\hat{d} \in D} (w^{t-1}(s, \sigma(i, \hat{d})) + h(i, \hat{d}) + w^{t-1}(\sigma(i, \hat{d}), \sigma(j+1, d))),$$
(1.2)

$$p^i_{d', d''} = \arg \min_{\hat{d} \in D} (w^{t-1}(s, \sigma(i, \hat{d})) + h(i, \hat{d}) + w^{t-1}(\sigma(i, \hat{d}), \sigma(j+1, d))).$$
(1.3)

3) Якщо  $j = \hat{n}$ ,

$$w^t(\sigma(j, d), e) = \min_{\hat{d} \in D} (w^{t-1}(\sigma(j, d), \sigma(i, \hat{d})) + h(i, \hat{d}) + w^{t-1}(\sigma(i, \hat{d}), e)),$$
(1.4)

$$p^i_{d', d''} = \arg \min_{\hat{d} \in D} (w^{t-1}(\sigma(j, d), \sigma(i, \hat{d})) + h(i, \hat{d}) + w^{t-1}(\sigma(i, \hat{d}), e));$$
(1.5)

4) Якщо  $0 < j < \hat{n}$ ,

$$w^t(\sigma(j, d'), \sigma(j+1, d'')) =$$
(1.6)

$$\min_{\hat{d} \in D} (w^{t-1}(\sigma(j, d'), \sigma(i, \hat{d})) + h(i, \hat{d}) + w^{t-1}(\sigma(i, \hat{d}), \sigma(j+1, d'')));$$
(1.7)

$$p^i_{d', d''} = \arg \min_{\hat{d} \in D} (w^{t-1}(\sigma(j, d'), \sigma(i, \hat{d})) + h(i, \hat{d}) + w^{t-1}(\sigma(i, \hat{d}), \sigma(j+1, d'')));$$
(1.8)

$$5) \mathcal{V}^t = \mathcal{V}^{t-1} \setminus \{\sigma(i, d) \mid \forall d \in D\};$$

$$\begin{aligned} 6) \text{ Позначимо множину } \bigcup_{d \in D} \langle S, \sigma(i, d) \rangle \text{ як } \mathcal{A}(i), \\ \text{множину } \bigcup_{\substack{d \in D \\ d' \in D}} \langle \sigma(i, d), \sigma(i+1, d') \rangle \text{ як } \mathcal{B}(i), \\ \text{а множину } \bigcup_{d \in D} \langle S, \sigma(t+1, d) \rangle \text{ як } \mathcal{C}. \text{ Тоді} \end{aligned}$$

$$\mathcal{E}^t = \left( \mathcal{E}^{t-1} \setminus (\mathcal{A} \cup \mathcal{B}) \right) \cup \mathcal{C}.$$

$$\text{Вага ребра } \langle S, \sigma(t+1, d) \rangle = s^t(d);$$

$$7) G^t = \langle \mathcal{V}^t, \mathcal{E}^t \rangle.$$

Коли ж на кроці  $n$  автомат згенерує останні пікселі зображень, нам залишиться тільки знайти

$$d_n = \arg \min_{d' \in D} \{ s^{(n-D_{max}-1)}(d') + h(n, d') \},$$

та відновити послідовність  $\bar{d}$  через матрицю  $\hat{\mathcal{P}}$

$$d_i = p_{i+1, d_{i+1}}, i = \overline{n-1, 1}.$$

Кожен новий граф  $G^t$  матиме на  $(D_{max})^2$  менше ребер, ніж граф  $G^{t-1}$ . Таким чином, на момент приходу останніх пікселів, нам треба буде опрацювати лише  $D_{max}$  ребер. А якщо б ми спочатку чекали приходу всіх даних, а тільки потім починали обчислення, нам треба було опрацювати  $(n-1)(D_{max})^2$  ребер.

## 1.4 Стереозрение при медленно поступающих данных

Описать что такое медленно приходящие данные...

### 1.4.1 Данные приходят по порядку

Пусть сначала все пиксели нам неизвестны (рис. 1.9), поэтому мы не можем вычислить вес ни одной из вершин графа  $G$  (??).

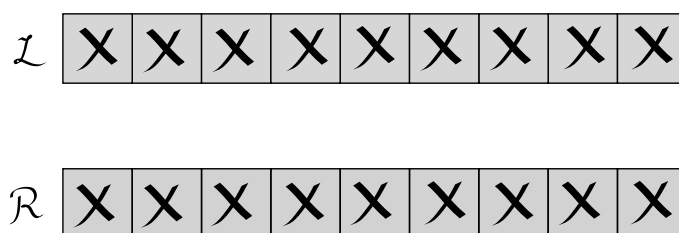


Рисунок 1.9 — Нет данных

Если мы не можем вычислить вес вершины — будем называть эту вершину ”закрытой” и обозначать ее черным кружочком. В противном случае назовем вершину ”открытой” и обозначим белым кружком. Для простоты рисунков положим  $D_{max} = 2$  и не будем обозначать ребер. Тогда, в ситуации когда все данные нам неизвестны, граф  $G$  будет иметь следующий вид (рис. 1.10).

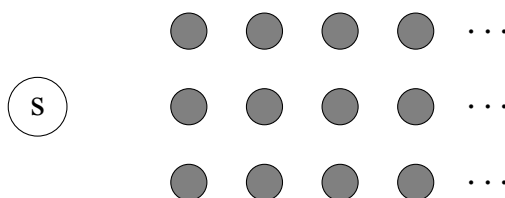


Рисунок 1.10 — граф  $G$  в отсутствии данных

Пусть теперь нам по порядку начинают приходить пары из пикселей правого и левого изображений с одинаковыми координатами. Когда нам известен только один первый пиксель каждого изображения (рис.1.11) то мы мо-

жем вычислить вес только одной вершины, и граф  $G$  будет иметь вид как на рис.1.12.

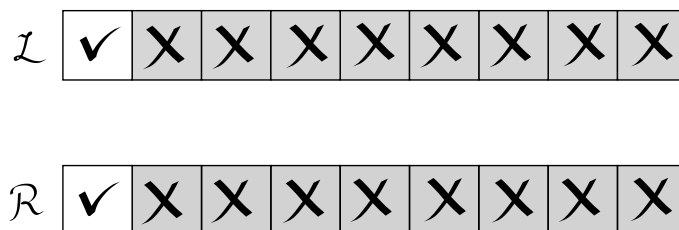


Рисунок 1.11 — Известны только первые пиксели

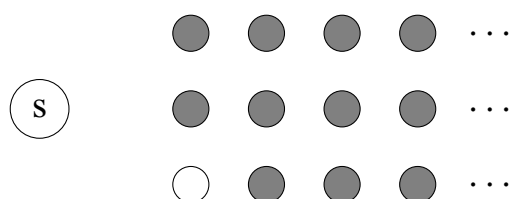


Рисунок 1.12 — Граф  $G$  когда известны только первые пиксели

Когда же нам будут известны уже первые два пикселя обоих изображений, мы сможем найти веса уже трёх вершин, и граф  $G$  будет выглядеть как на рис.1.13.

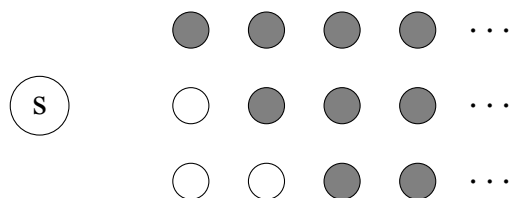


Рисунок 1.13 — Відомі перші два пікселі зображень

По мере прихода следующих пикселей в графе  $G$  будут открываться вершины на диагонали над уже открытыми вершинами. А как только нам станут известны  $D_{max} + 1$  первых пикселей обоих изображений — то все вершины в первом столбике станут открытыми (рис. 1.14), и мы можем приступать к предвычислениям

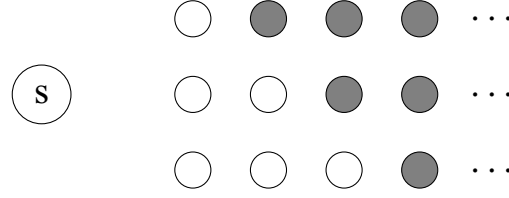


Рисунок 1.14 — Известны первые  $D_{max} + 1$  пікселей

Предположим кратчайший путь проходит через какую-то вершину  $\sigma(2, d)$  во втором столбике. Тогда точно можно утверждать, что он проходит через вершину  $\sigma(1, k)$  первого столбика, где

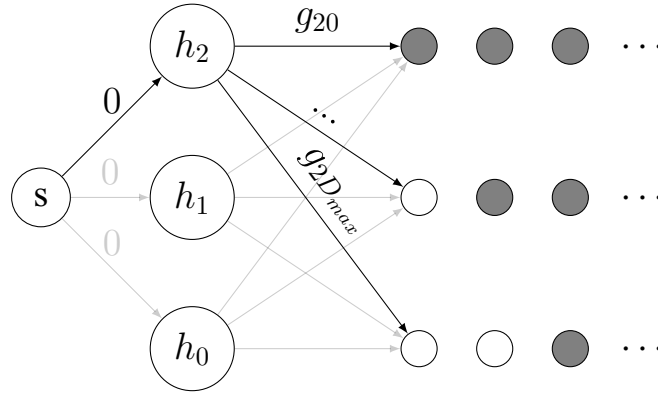
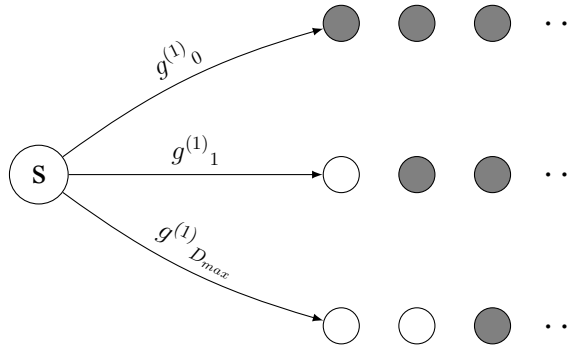
$$k = \arg \min_{l=0}^{D_{max}} (h(1, l) + g(l, d)).$$

Тогда все остальные возможные пути из  $S$  в  $\sigma(2, d)$  нам не нужны, и мы их отбрасываем, а вместо них вводим ребро  $\langle S, \sigma(2, d) \rangle$ , с весом

$$g^{(1)}_d = \min_{l=0}^{D_{max}} (h(2, l) + g(l, d)), \quad \forall d \in D.$$

Таким образом мы уменьшили количество рёбер в графе  $G$  на  $D_{max}$ .

Но мы не знаем через какую именно вершину второго столбика проходит кратчайший путь, поэтому вынуждены провести эту операцию для всех вершин  $\sigma(2, d) \forall d \in D$ . В результате такой оптимизации мы сократим количество рёбер на  $(D_{max})^2$  (рис. 1.15  $\rightarrow$  рис. 1.16).

Рисунок 1.15 — граф  $G$  до оптимизацииРисунок 1.16 — граф  $G$  после оптимизации

По пришествию первых  $D_{max} + 2$  стереопар пикселей проводим аналогичные действия, но теперь уже учитываем предыдущую оптимизацию. Для каждой вершины  $\sigma(3, d)$   $d \in D$  находим вершину  $\sigma(2, k)$ , где

$$k = \arg \min_{l \in D} (g_l^{(1)} + h(2, l) + g(l, d)).$$

Отбрасываем все пути из  $S$  в  $\sigma(3, d)$ ,  $d \in D$ , и вводим рёбра  $\langle S, \sigma(3, d) \rangle$   $d \in D$  с весами

$$g_d^{(2)} = \min_{l \in D} (g_l^{(1)} + h(2, l) + g(l, d)), \quad \forall d \in D.$$

Этим самым снова уменьшив общее количество рёбер графа  $G$  на  $(D_{max})^2$ .

Таким образом, при как только становятся известны первые  $D_{max} + m$

стереопар пикселей ( $m \geq 2$ ), отбрасываем все пути из  $S$  в  $\sigma(m+1, d)$   $d \in D$ , заменяя их рёбрами  $\langle S, \sigma(m+1, d) \rangle \forall d \in D$ , с весами

$$g^{(m)}_d = \min_{l \in D} (g^{(m-1)}_l + h(m, l) + g(l, d)), \forall d \in D, \quad (1.9)$$

уменьшая количество рёбер графа  $G$  ещё на  $(D_{max})^2$ .

Для восстановления конечной оптимальной последовательности  $\bar{d}$ , нам для каждой вершины  $\sigma(i, d)$ ,  $\forall i = \overline{2, n}$ ,  $d \in D$  нужно запоминать предыдущую ей ”оптимальную” вершину  $\sigma(i - 1, k)$ , где

$$k = \arg \min_{l \in D} (g^{(i-1)}_l + h(i - 1, l) + g(l, d)).$$

Для этого введем матрицу предыдущих оптимальных вершин  $\hat{\mathcal{P}}$  размера  $n \times D_{max} + 1$ , где  $\sigma(i - 1, p_{ij})$  — предыдущая  $\sigma(i, j)$  оптимальная вершина,  $\forall i \in I, j \in D$ . Элементы этой матрицы находятся следующим образом:

- $p_{1j} = 0$ ,  $\forall j \in D$  поскольку в вершины первого столбца можно попасть только из начальной вершины  $S$ , и предыдущая оптимальная вершина для них всегда одна. Конечно, можно просто исключить эти элементы из матрицы, но их наличие приводит к более красивому и простому определению остальных элементов матрицы  $\hat{\mathcal{P}}$ .
- $p_{ij} = \arg \min_{l \in D} (g^{(i-1)}_l + h(i - 1, l) + g(l, j))$ .

Элементы  $p_{ij}$  нужно вычислять при приходе  $D_{max} + i$  пары пикселей, так как при приходе следующей пары, рёбра  $g^{(i-1)}_l$  используются для расчёта рёбер  $g^{(i)}_l$ ,  $\forall l \in D$  согласно формуле 1.9 и отбрасываются.

После нахождения всех элементов  $\hat{\mathcal{P}}$ , можем восстановить все элементы последовательности  $\bar{d}$  —

$$d_n = \arg \min_{l \in D} (g^{(n-1)}_l + h(n, l)),$$

$$d_{n-1} = p_{n, d_n},$$

...

$$d_i = p_{i, d_{i-1}}.$$



#### **1.4.2 Одно из изображений известно**

## **2 ПРАКТИЧНІ РЕЗУЛЬТАТИ**

### **3 FINAL REMARKS**

## **ВИСНОВКИ**

В результаті виконання роботи вдалося.

## REFERENCES

## **ПЕРЕЛІК ПОСИЛАНЬ**